

Starkniederschlagshöhen und -spenden gemäß KOSTRA-DWD-2020

Rasterfeld 132201

(Zeile 132, Spalte 201)

Regenspende und Bemessungsniederschlagswerte in Abhängigkeit von Wiederkehrzeit T und Dauerstufe D

| Dauerstufe D | | Wiederkehrzeit T | | | | | | | | | | | | | | | | | |
|--------------|-----|------------------|------------|------|------------|------|------------|------|------------|-------|------------|-------|------------|-------|------------|-------|------------|-------|------------|
| | | 1 a | | 2 a | | 3 a | | 5 a | | 10 a | | 20 a | | 30 a | | 50 a | | 100 a | |
| min | Std | mm | l / (s ha) | mm | l / (s ha) | mm | l / (s ha) | mm | l / (s ha) | mm | l / (s ha) | mm | l / (s ha) | mm | l / (s ha) | mm | l / (s ha) | mm | l / (s ha) |
| 5 | | 6,4 | 213,3 | 8,2 | 273,3 | 9,2 | 306,7 | 10,7 | 356,7 | 12,7 | 423,3 | 14,8 | 493,3 | 16,2 | 540,0 | 18,0 | 600,0 | 20,6 | 686,7 |
| 10 | | 8,7 | 145,0 | 11,1 | 185,0 | 12,6 | 210,0 | 14,5 | 241,7 | 17,3 | 288,3 | 20,2 | 336,7 | 22,1 | 368,3 | 24,6 | 410,0 | 28,1 | 468,3 |
| 15 | | 10,2 | 113,3 | 12,9 | 143,3 | 14,7 | 163,3 | 16,9 | 187,8 | 20,2 | 224,4 | 23,5 | 261,1 | 25,7 | 285,6 | 28,6 | 317,8 | 32,7 | 363,3 |
| 20 | | 11,2 | 93,3 | 14,3 | 119,2 | 16,2 | 135,0 | 18,7 | 155,8 | 22,2 | 185,0 | 25,9 | 215,8 | 28,4 | 236,7 | 31,5 | 262,5 | 36,1 | 300,8 |
| 30 | | 12,7 | 70,6 | 16,2 | 90,0 | 18,4 | 102,2 | 21,2 | 117,8 | 25,3 | 140,6 | 29,5 | 163,9 | 32,2 | 178,9 | 35,8 | 198,9 | 41,0 | 227,8 |
| 45 | | 14,3 | 53,0 | 18,2 | 67,4 | 20,7 | 76,7 | 23,8 | 88,1 | 28,4 | 105,2 | 33,1 | 122,6 | 36,2 | 134,1 | 40,3 | 149,3 | 46,1 | 170,7 |
| 60 | 1 | 15,5 | 43,1 | 19,8 | 55,0 | 22,4 | 62,2 | 25,8 | 71,7 | 30,8 | 85,6 | 35,9 | 99,7 | 39,2 | 108,9 | 43,6 | 121,1 | 49,9 | 138,6 |
| 90 | 1,5 | 17,3 | 32,0 | 22,0 | 40,7 | 24,9 | 46,1 | 28,8 | 53,3 | 34,3 | 63,5 | 40,0 | 74,1 | 43,7 | 80,9 | 48,6 | 90,0 | 55,6 | 103,0 |
| 120 | 2 | 18,6 | 25,8 | 23,7 | 32,9 | 26,9 | 37,4 | 31,0 | 43,1 | 36,9 | 51,3 | 43,1 | 59,9 | 47,1 | 65,4 | 52,4 | 72,8 | 59,9 | 83,2 |
| 180 | 3 | 20,6 | 19,1 | 26,3 | 24,4 | 29,8 | 27,6 | 34,3 | 31,8 | 40,9 | 37,9 | 47,7 | 44,2 | 52,2 | 48,3 | 58,0 | 53,7 | 66,4 | 61,5 |
| 240 | 4 | 22,2 | 15,4 | 28,2 | 19,6 | 32,0 | 22,2 | 36,9 | 25,6 | 44,0 | 30,6 | 51,3 | 35,6 | 56,1 | 39,0 | 62,3 | 43,3 | 71,3 | 49,5 |
| 360 | 6 | 24,5 | 11,3 | 31,2 | 14,4 | 35,3 | 16,3 | 40,8 | 18,9 | 48,6 | 22,5 | 56,7 | 26,3 | 62,0 | 28,7 | 68,9 | 31,9 | 78,8 | 36,5 |
| 540 | 9 | 27,1 | 8,4 | 34,4 | 10,6 | 39,0 | 12,0 | 45,0 | 13,9 | 53,7 | 16,6 | 62,6 | 19,3 | 68,4 | 21,1 | 76,1 | 23,5 | 87,0 | 26,9 |
| 720 | 12 | 29,0 | 6,7 | 36,9 | 8,5 | 41,8 | 9,7 | 48,3 | 11,2 | 57,5 | 13,3 | 67,1 | 15,5 | 73,4 | 17,0 | 81,6 | 18,9 | 93,3 | 21,6 |
| 1080 | 18 | 32,0 | 4,9 | 40,7 | 6,3 | 46,1 | 7,1 | 53,3 | 8,2 | 63,5 | 9,8 | 74,0 | 11,4 | 80,9 | 12,5 | 90,0 | 13,9 | 103,0 | 15,9 |
| 1440 | 24 | 34,3 | 4,0 | 43,7 | 5,1 | 49,5 | 5,7 | 57,1 | 6,6 | 68,0 | 7,9 | 79,4 | 9,2 | 86,8 | 10,0 | 96,5 | 11,2 | 110,4 | 12,8 |
| 2880 | 48 | 40,6 | 2,3 | 51,6 | 3,0 | 58,5 | 3,4 | 67,5 | 3,9 | 80,4 | 4,7 | 93,8 | 5,4 | 102,5 | 5,9 | 114,0 | 6,6 | 130,4 | 7,5 |
| 4320 | 72 | 44,7 | 1,7 | 56,9 | 2,2 | 64,4 | 2,5 | 74,4 | 2,9 | 88,6 | 3,4 | 103,4 | 4,0 | 113,0 | 4,4 | 125,7 | 4,8 | 143,8 | 5,5 |
| 5760 | 96 | 47,9 | 1,4 | 61,0 | 1,8 | 69,1 | 2,0 | 79,7 | 2,3 | 95,0 | 2,7 | 110,8 | 3,2 | 121,1 | 3,5 | 134,6 | 3,9 | 154,0 | 4,5 |
| 7200 | 120 | 50,5 | 1,2 | 64,3 | 1,5 | 72,9 | 1,7 | 84,1 | 1,9 | 100,2 | 2,3 | 116,9 | 2,7 | 127,8 | 3,0 | 142,1 | 3,3 | 162,5 | 3,8 |
| 8640 | 144 | 52,8 | 1,0 | 67,2 | 1,3 | 76,1 | 1,5 | 87,8 | 1,7 | 104,7 | 2,0 | 122,1 | 2,4 | 133,5 | 2,6 | 148,4 | 2,9 | 169,8 | 3,3 |
| 10080 | 168 | 54,8 | 0,9 | 69,7 | 1,2 | 79,0 | 1,3 | 91,1 | 1,5 | 108,6 | 1,8 | 126,7 | 2,1 | 138,5 | 2,3 | 154,0 | 2,5 | 176,2 | 2,9 |

Starkniederschlagshöhen und -spenden gemäß KOSTRA-DWD-2020

Rasterfeld 132201

(Zeile 132, Spalte 201)

Örtliche Unsicherheiten in Abhängigkeit von Wiederkehrzeit T und Dauerstufe D

| Dauerstufe D | | Wiederkehrzeit T | | | | | | | | |
|--------------|-----|------------------|-----|-----|-----|------|------|------|------|-------|
| | | 1 a | 2 a | 3 a | 5 a | 10 a | 20 a | 30 a | 50 a | 100 a |
| min | Std | ± % | ± % | ± % | ± % | ± % | ± % | ± % | ± % | ± % |
| 5 | | 13 | 12 | 13 | 13 | 14 | 14 | 15 | 15 | 15 |
| 10 | | 13 | 15 | 15 | 16 | 18 | 18 | 19 | 19 | 20 |
| 15 | | 15 | 17 | 18 | 19 | 20 | 21 | 21 | 22 | 22 |
| 20 | | 16 | 18 | 19 | 20 | 21 | 22 | 23 | 23 | 24 |
| 30 | | 17 | 19 | 21 | 22 | 23 | 24 | 24 | 25 | 25 |
| 45 | | 18 | 20 | 21 | 22 | 24 | 25 | 25 | 26 | 26 |
| 60 | 1 | 18 | 20 | 21 | 23 | 24 | 25 | 25 | 26 | 26 |
| 90 | 1,5 | 18 | 20 | 21 | 22 | 24 | 25 | 25 | 25 | 26 |
| 120 | 2 | 17 | 20 | 21 | 22 | 23 | 24 | 25 | 25 | 26 |
| 180 | 3 | 16 | 19 | 20 | 21 | 22 | 23 | 24 | 24 | 25 |
| 240 | 4 | 16 | 18 | 19 | 20 | 22 | 23 | 23 | 24 | 24 |
| 360 | 6 | 15 | 17 | 18 | 19 | 21 | 22 | 22 | 23 | 23 |
| 540 | 9 | 14 | 16 | 17 | 19 | 20 | 21 | 21 | 22 | 22 |
| 720 | 12 | 14 | 16 | 17 | 18 | 19 | 20 | 20 | 21 | 21 |
| 1080 | 18 | 14 | 15 | 16 | 17 | 18 | 19 | 20 | 20 | 21 |
| 1440 | 24 | 14 | 15 | 16 | 17 | 18 | 19 | 19 | 20 | 20 |
| 2880 | 48 | 15 | 15 | 16 | 17 | 17 | 18 | 18 | 19 | 19 |
| 4320 | 72 | 16 | 16 | 16 | 17 | 17 | 18 | 18 | 19 | 19 |
| 5760 | 96 | 16 | 16 | 17 | 17 | 18 | 18 | 18 | 19 | 19 |
| 7200 | 120 | 17 | 17 | 17 | 17 | 18 | 18 | 18 | 19 | 19 |
| 8640 | 144 | 18 | 17 | 18 | 18 | 18 | 18 | 19 | 19 | 19 |
| 10080 | 168 | 18 | 18 | 18 | 18 | 18 | 19 | 19 | 19 | 19 |

Parameter für abweichende T und D

Lokationsparameter ξ (Xi)

16,04956394

Skalenparameter α (Alpha)

6,08163833

Formparameter κ (Kappa)

-0,1

1. Koutsoyiannis-Parameter θ (Theta)

0,04379705

2. Koutsoyiannis-Parameter η (Eta)

0,76017824

Parameter für dauerstufenübergreifende Extremwertschätzung nach KOUTSOYIANNIS et al. 1998.

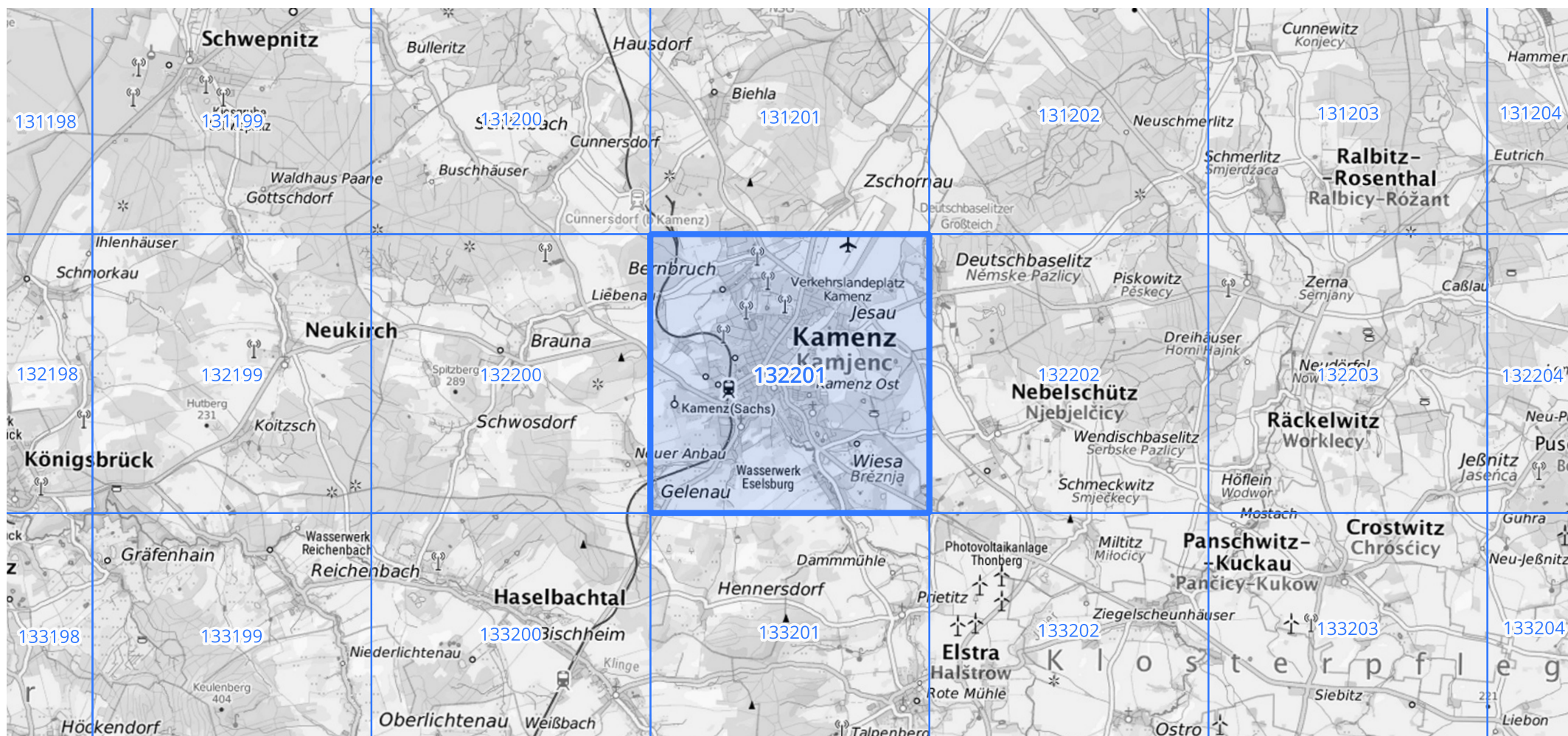
Siehe auch Anwendungshilfe zu KOSTRA-DWD-2020 des Deutschen Wetterdienstes.

Starkniederschlagshöhen und -spenden gemäß KOSTRA-DWD-2020

Rasterfeld 132201

(Zeile 132, Spalte 201)

Übersichtskarte des Rasterfeldes 132201, M 1 : 100 000



Quelle Rasterdaten: KOSTRA-DWD-2020 des Deutschen Wetterdienstes, Stand 12/2022.

Seite 3 von 3

Kartendarstellung: © Bundesamt für Kartographie und Geodäsie (2023), Datenquellen: https://sgx.geodatenzentrum.de/web_public/gdz/datenquellen/Datenquellen_TopPlusOpen.html

Für die Richtigkeit und Aktualität der Angaben wird keine Gewähr übernommen. Erstellt 01/2023.